

NORGES TEKNISK-NATURVITENSKAPELIGE UNIVERSITET
 Institutt for fysikk

Faglig kontakt under eksamen: Ingjald Øverbø, tlf 73 59 18 67, eller 97012355

EKSAMEN I
FY2045 KVANTEMEKANIKK I/
TFY4250 KVANTEMEKANIKK I

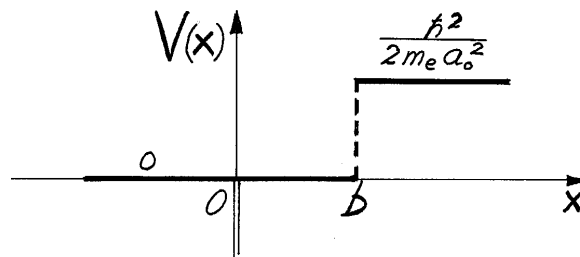
Torsdag 20. desember 2012
 kl. 15.00 - 19.00

Tillatte hjelpemidler: Godkjent kalkulator
 Rottmann: Matematisk formelsamling
 Øgrim & Lian: Størrelser og enheter i fysikk og teknikk, eller
 Lian og Angell: Fysiske størrelser og enheter

Et ark med uttrykk og formler er vedlagt.

Sensuren faller i januar 2012.

Oppgave 1



Et elektron (med masse m_e) beveger seg i et endimensjonalt potensial som består av en deltafunksjonsbrønn og et potentialsprang:

$$V(x) = \begin{cases} -\frac{g\hbar^2}{m_e a_0} \delta(x) & \text{for } -\infty < x < b, \quad (b > 0, g > 0) \\ \frac{\hbar^2}{2m_e a_0^2} \equiv V_0 & \text{for } b < x < \infty. \end{cases}$$

Anta at $\psi_E(x)$ er en energieigenfunksjon med energi E for dette systemet. ♠ Bruk den tidsuavhengige Schrödingerligningen til å finne ut hvordan ψ_E må oppføre seg for negative x dersom (i) $E > 0$, (ii) $E = 0$. ♠ (iii) Finn også formen til ψ_E for negative x dersom $E < 0$, og forklar ut fra drøftingen av disse tre tilfellene hvorfor en *bunden* tilstand må ha $E < 0$. [Hint: En bunden tilstand skal være kvadratisk integrerbar.] ♠ Finn også formen til en eventuell bunden tilstand ψ_E for $x > b$.

b. Forutsetningen for at dette systemet *har* en bunden tilstand $\psi(x)$ er at faktoren g (som bestemmer “styrken” av delta-brønnen) er større enn en viss grenseverdi g_0 . Anta nå at betingelsen $g > g_0$ er oppfylt, og at vi velger $\psi(x)$ reell og “normert” slik at $\psi = 1$ i origo.

Oppførselen til $\psi(x)$ for $x < 0$ og for $x > b$ er funnet ovenfor. ♠Angi hvordan ψ krummer, både i disse områdene og ellers.

For $0 < x < b$ kan den generelle løsningen av den tidsuavhengige Schrödingerligningen skrives på formen

$$\psi = Ae^{\kappa x} + Be^{-\kappa x},$$

der A og B er reelle konstanter. Isolert sett kan dette uttrykket ha et nullpunkt i intervallet $0 < x < b$. ♠Forklar hvorfor egenfunksjonen ψ likevel ikke kan ha noe nullpunkt. [Hint: Prøv å skissere en løsning med et nullpunkt for $0 < x < b$, og forklar hva som blir galt med denne “løsningen”.]

♠Lag så en prinsippskisse som viser hvordan egenfunksjonen ψ for den bundne tilstanden (uten nullpunkter) *må* se ut, og forklar hvorfor denne egenfunksjonen er unik, slik at vi har bare én slik bunden tilstand (for en gitt $g > g_0$). [Hint: Hvor mange ukjente har vi i denne problemstillingen?]

c. I grensetilfellet $g = g_0$ har dette systemet en (ubunden) energiegentilstand med energien $E = 0$. ♠Forklar hvilken form denne energiegenfunksjonen har i de tre områdene $x < 0$, $0 < x < b$ og $x > b$, og lag en skisse av den. ♠Bruk de nødvendige betingelsene til å bestemme g_0 . ♠Er resultatet fornuftig i grensen $b \rightarrow \infty$?

Oppgave 2

En spinn- $\frac{1}{2}$ -partikkel med masse m , ladning q og magnetisk moment $\boldsymbol{\mu} = g(q/2m)\mathbf{S}$ befinner seg (i utgangspunktet) i et konstant og homogent magnetfelt $\mathbf{B}_0 = B_0\hat{\mathbf{z}}$ rettet i z -retningen. Når vi ser bort fra andre frihetsgrader, kan Hamilton-operatoren for dette (uperturberte) systemet skrives på formen

$$\widehat{H}_0 = -\boldsymbol{\mu} \cdot \mathbf{B}_0 \equiv \boldsymbol{\omega}_0 \cdot \mathbf{S} = \omega_0 S_z, \quad \text{der} \quad \boldsymbol{\omega}_0 = -qB_0 \frac{g}{2m} \hat{\mathbf{z}} \equiv \omega_0 \hat{\mathbf{z}}.$$

Her antar vi at ω_0 er positiv, slik at vektoren $\boldsymbol{\omega}_0$ peker i positiv z -retning. Dette systemet velger vi å perturbere med et tidsavhengig magnetfelt

$$\mathbf{B}_1 = \epsilon B_0 (\hat{\mathbf{x}} \cos \omega_0 t + \hat{\mathbf{y}} \sin \omega_0 t)$$

som ligger i xy -planet og roterer med samme vinkelfrekvens ω_0 som inngår i \widehat{H}_0 . Dette magnetfeltet svarer til et perturberende ledd

$$\widehat{V}(t) = -\boldsymbol{\mu} \cdot \mathbf{B}_1 = \epsilon \omega_0 (\hat{\mathbf{x}} \cos \omega_0 t + \hat{\mathbf{y}} \sin \omega_0 t) \cdot \mathbf{S} \equiv \boldsymbol{\omega}_1 \cdot \mathbf{S} \quad (\omega_1 = \epsilon \omega_0),$$

og en total Hamilton-operator

$$\widehat{H} = \widehat{H}_0 + \widehat{V}(t) = (\boldsymbol{\omega}_0 + \boldsymbol{\omega}_1) \cdot \mathbf{S} = \frac{1}{2} \hbar \omega_0 \begin{pmatrix} 1 & 0 \\ 0 & -1 \end{pmatrix} + \frac{1}{2} \hbar \omega_1 \begin{pmatrix} 0 & e^{-i\omega_0 t} \\ e^{i\omega_0 t} & 0 \end{pmatrix}.$$

a. ♠ Finn energieigenverdiene (E_{\pm}) for det uperturberte systemet (dvs for $\epsilon = 0$) uttrykt ved ω_0 , og vis at de tilhørende stasjonære tilstandene kan skrives på formen

$$\chi_{\pm}^{(0)}(t) = \chi_{\pm} e^{\mp i\omega_0 t/2}, \quad \text{der } \chi_+ = \begin{pmatrix} 1 \\ 0 \end{pmatrix} \quad \text{og} \quad \chi_- = \begin{pmatrix} 0 \\ 1 \end{pmatrix}.$$

Siden tilstandene $\chi_{\pm}^{(0)}(t)$ danner en basis, kan tilstanden for spinn-systemet generelt utvikles i disse:

$$\chi(t) = a_+(t)\chi_+^{(0)}(t) + a_-(t)\chi_-^{(0)}(t).$$

♠ Hva er den fysiske tolkningen av koeffisientene $a_+(t)$ og $a_-(t)$?

Ved innsetting i Schrödingerligningen $i\hbar \frac{d}{dt} \chi(t) = \widehat{H} \chi(t)$ finner en at utviklingskoeffisientene oppfyller det koblede ligningssettet

$$i\hbar \frac{d}{dt} \begin{pmatrix} a_+(t) \\ a_-(t) \end{pmatrix} = \frac{1}{2}\hbar\omega_1 \begin{pmatrix} 0 & 1 \\ 1 & 0 \end{pmatrix} \begin{pmatrix} a_+(t) \\ a_-(t) \end{pmatrix} \quad (\omega_1 = \epsilon\omega_0).$$

♠ Hva sier dette ligningssettet om tidsavhengigheten til koeffisientene $a_+(t)$ og $a_-(t)$ når det perturbende magnetfeltet er lik null (dvs når $\epsilon = 0$)?

b. Anta at $\epsilon > 0$, slik at det perturbende feltet er forskjellig fra null. ♠ Bruk ligningssettet ovenfor til å vise at

$$a_+(t) = -i \sin \frac{1}{2}\omega_1 t \quad \text{og} \quad a_-(t) = \cos \frac{1}{2}\omega_1 t,$$

når det oppgis at spinnnet ved $t = 0$ var i grunntilstanden; $\chi(0) = \chi_- = \begin{pmatrix} 0 \\ 1 \end{pmatrix}$.

c. ♠ Skriv den resulterende spinntilstanden $\chi(t) = a_+(t)\chi_+^{(0)}(t) + a_-(t)\chi_-^{(0)}(t)$ på formen

$$\chi(t) = \begin{pmatrix} a(t) \\ b(t) \end{pmatrix},$$

og finn komponentene $\langle \sigma_x \rangle$, $\langle \sigma_y \rangle$ og $\langle \sigma_z \rangle$ av spinnretningen $\langle \boldsymbol{\sigma} \rangle$ som funksjoner av t , ved hjelp av formelarket.

Fra disse resultatene følger det at komponenten av $\langle \boldsymbol{\sigma} \rangle$ vinkelrett på z -aksen kan skrives på formen

$$\langle \boldsymbol{\sigma}_{\perp} \rangle = \sin \omega_1 t [\hat{\mathbf{x}} \cos(\omega_0 t + \pi/2) + \hat{\mathbf{y}} \sin(\omega_0 t + \pi/2)].$$

Denne roterer som du ser med samme vinkelfrekvens som det perturbende \mathbf{B} -feltet, men 90 grader foran dette hele tiden mens t øker fra 0 til π/ω_1 . Sammen med formelen $d\langle \boldsymbol{\sigma} \rangle / dt = (\boldsymbol{\omega}_0 + \boldsymbol{\omega}_1) \times \langle \boldsymbol{\sigma} \rangle$ (som kan utledes fra dreieimpulsalgebraen), forklarer dette hvorfor $\langle \sigma_z \rangle$ øker hele tiden mens $\sin \omega_1 t > 0$, dvs helt til $\langle \sigma_z \rangle$ blir lik 1. Anta nå at $\epsilon \ll 1$, slik at $\omega_1 \ll \omega_0$. ♠ Beskriv kvalitativt hva som da vil skje med $\langle \sigma_z \rangle$ dersom vi lar det perturbende feltet rotere med en vinkelfrekvens ω som ligger langt unna resonansfrekvensen ω_0 ?

d. ♠ Anta igjen at det perturbierende feltet \mathbf{B}_1 roterer med vinkelfrekvensen ω_0 , og beregn overgangsamplituden $a_+(t)$ ved tiden t ved hjelp av 1.-ordens tidsavhengig perturbasjonsteori. ♠ Sammenlign 1.-ordens-resultatet for $a_+(t)$ med det eksakte resultatet oppgitt i pkt. **b.**, og finn på den måten hva som i dette tilfellet kreves for at 1.-ordens perturbasjonsteori skal gi en god tilnærming.

Oppgave 3

En partikkel med masse m beveger seg i det tredimensjonale oscillatorpotensialet $V(r) = \frac{1}{2}m\omega^2 r^2$. Som energiegentilstander for dette systemet kan vi bruke enten (i) produkttilstander av den “kartesiske” typen,

$$\psi_{n_x n_y n_z} = \psi_{n_x}(x)\psi_{n_y}(y)\psi_{n_z}(z) \equiv (n_x n_y n_z), \quad E_{n_x n_y n_z} = \hbar\omega(n_x + n_y + n_z + 3/2),$$

der $\psi_{n_x}(x)$ osv er ordinære endimensjonale oscillatorløsninger (se formel-arket), eller (ii) “dreieimpulstilstander” av typen $\psi_{Nlm} = R_{Nl}(r)Y_{lm}(\theta, \phi)$ (der hver slik tilstand er en lineærkombinasjon av “kartesiske” tilstander med $n_x + n_y + n_z = N$).

a. Anta at oscillatoren ved $t = 0$ er preparert i følgende lineærkombinasjon av “kartesiske” tilstander,

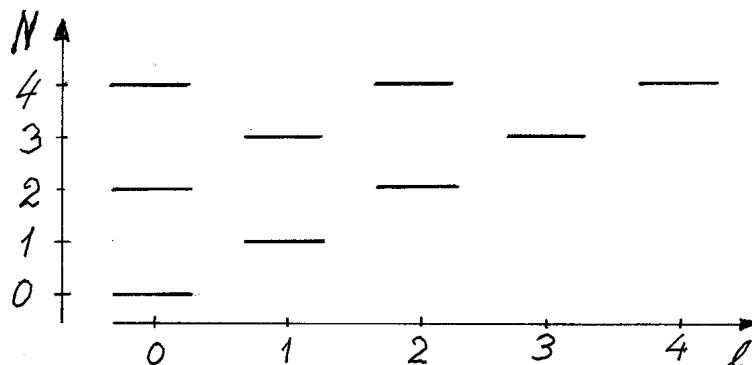
$$\Psi(\mathbf{r}, 0) = \frac{1}{\sqrt{6}}[(200) + (020) + (002)] + \frac{1}{\sqrt{2}}(000).$$

♠ Vis at denne er normert.

Anta at vi straks etter prepareringen (dvs ved $t = 0^+$) måler energien E . ♠ Hva er sannsynligheten for at målingen gir (i) resultatet $E = \frac{3}{2}\hbar\omega$ og etterlater systemet i grunntilstanden $\psi_{000} \equiv (000)$, (ii) resultatet $E = \frac{7}{2}\hbar\omega$? ♠ Hva blir (den normerte) tilstanden umiddelbart etter en måling med resultatet $E = \frac{7}{2}\hbar\omega$?

♠ Vis ved hjelp av formelarket at tilstanden $[(200) + (020) + (002)]/\sqrt{3}$ er vinkel-uavhengig, dvs avhenger bare av r , og derfor er en tilstand av typen ψ_{Nlm} , der N , l og m skal angis.

b. Anta nå at oscillatoren er i tilstanden $\psi_{N=2, l=m=0} = R_{N=2, l=0} Y_{00}$ ved $t = 0$. Vi vil studere strålingsoverganger fra denne tilstanden via absorpsjon og spontan og stimulert emisjon. Om vi bruker “dreieimpulsegentilstander” ψ_{Nlm} som basis, ser nivåskjemaet for denne oscillatoren slik ut (for $N \leq 4$):



I dipoltilnærmelsen er overgangsratene for absorpsjon og stimulert emisjon proporsjonale med $|\mathbf{e}_k \cdot \mathbf{d}_{fi}|^2$, der \mathbf{e}_k er polarisasjonsvektoren for strålingen og vektoren

$$\mathbf{d}_{fi} = \int \psi_f^* \mathbf{r} \psi_i d^3r$$

er dipolmomentet for overgangen. Overgangsraten for spontan emisjon er proporsjonal med $|\mathbf{d}_{fi}|^2$.

♠ Vis direkte (ut fra integralet over) at overganger fra $\psi_{N=2,l=m=0}$ i dipoltilnærmelsen bare skjer til p -tilstander ($\psi_{N'l'm'}$ med $l' = 1$), i tråd med utvalgsregelen $\Delta l = \pm 1$. Hint: Bruk at

$$\mathbf{r} = r\sqrt{4\pi/3} \left[\hat{\mathbf{e}}_z Y_{10} - \frac{\hat{\mathbf{e}}_x - i\hat{\mathbf{e}}_y}{\sqrt{2}} Y_{11} + \frac{\hat{\mathbf{e}}_x + i\hat{\mathbf{e}}_y}{\sqrt{2}} Y_{1-1} \right],$$

og se på vinkeldelen av integralet over.

♠ Vis at de tillatte overgangene i dipoltilnærmelsen for dette systemet generelt begrenser seg til $\Delta N = \pm 1$. Hint: I dipolmomentet

$$\langle \psi_f | \mathbf{r} | \psi_i \rangle$$

er ket-vektoren $|\psi_i\rangle$ en superposisjon av "kartesiske" tilstander som alle har $n_x + n_y + n_z = N$. Betrakt

$$\hat{\mathbf{r}}|\psi_i\rangle = (\hat{\mathbf{e}}_x \hat{x} + \hat{\mathbf{e}}_y \hat{y} + \hat{\mathbf{e}}_z \hat{z})|\psi_i\rangle,$$

og undersøk hvordan operatorene

$$\hat{x} = \sqrt{\frac{\hbar}{2m\omega}} (a_x + a_x^\dagger) \quad \text{etc}$$

virker på $|\psi_i\rangle$. Husk at $a_x|n_x\rangle = \sqrt{n_x}|n_x - 1\rangle$ og $a_x^\dagger|n_x\rangle = \sqrt{n_x + 1}|n_x + 1\rangle$.

c. Fra resultatene ovenfor følger det at *spontane* overganger fra tilstanden $\psi_{N=2,l=m=0}$ i dipoltilnærmelsen bare skjer til tilstander med $N = 1$. For de sistnevnte kan vi like godt velge å bruke de "kartesiske". Raten (sannsynligheten pr tidsenhet) for spontan overgang fra tilstanden $\psi_{N=2,l=m=0}$ til den "kartesiske" tilstanden $\psi_{100} \equiv (100)$ er i dipoltilnærmelsen gitt ved formelen

$$w_{i \rightarrow f} = \alpha \frac{4\omega_{if}^3}{3c^2} |\mathbf{d}_{fi}|^2.$$

♠ Hva er Bohr-frekvensen ω_{if} for denne overgangen? ♠ Forklar ut fra symmetriegenskapene til de aktuelle tilstandene hvorfor dipolmoment-vektoren \mathbf{d}_{fi} for denne overgangen ikke kan ha komponenter i y - og z -retningene. ♠ Forklar også hvorfor *lengden* av \mathbf{d}_{fi} må være av størrelsesorden $\sqrt{\hbar/m\omega}$. ♠ Forklar dessuten hvorfor $|\mathbf{d}_{fi}|$ er like stor for alle de tre slutt-tilstandene (100), (010) og (001).

d. Det opplyses at $|\mathbf{d}_{fi}| = \sqrt{\hbar/(3m\omega)}$ for hver av de tre nevnte overgangene. ♠ Anta at $m = m_e$ og $\omega = 10^{16} \text{ s}^{-1}$, og finn (i dipoltilnærmelsen) tallverdier for den totale raten for spontan overgang fra tilstanden $\psi_{N=2,l=m=0}$ og den tilsvarende levetiden τ . ♠ Avgjør om dipoltilnærmelsen er en god tilnærming i dette tilfellet.

Vedlegg: Formler og uttrykk

Noe av dette kan du få bruk for.

Diskontinuitetsbetingelse, med potensial $V(x) = \alpha\delta(x - a)$

$$\psi'(a^+) - \psi'(a^-) = \frac{2m\alpha}{\hbar^2} \psi(a).$$

Spinn $\frac{1}{2}$

For en partikkel med spinn $\frac{1}{2}$ kan en bruke spinnoperatoren

$$\mathbf{S} = \frac{1}{2}\hbar\boldsymbol{\sigma} = \frac{1}{2}\hbar(\hat{\mathbf{e}}_x\sigma_x + \hat{\mathbf{e}}_y\sigma_y + \hat{\mathbf{e}}_z\sigma_z),$$

der

$$\sigma_x = \begin{pmatrix} 0 & 1 \\ 1 & 0 \end{pmatrix}, \quad \sigma_y = \begin{pmatrix} 0 & -i \\ i & 0 \end{pmatrix}, \quad \sigma_z = \begin{pmatrix} 1 & 0 \\ 0 & -1 \end{pmatrix}$$

er de såkalte Pauli-matrisene. Pauli-spinorene $\chi_+ = \begin{pmatrix} 1 \\ 0 \end{pmatrix}$ og $\chi_- = \begin{pmatrix} 0 \\ 1 \end{pmatrix}$ er da egentilstander til $S_z = \frac{1}{2}\hbar\sigma_z$ med egenverdiene $\pm\frac{1}{2}\hbar$. En normert spinntilstand $\chi = \begin{pmatrix} a \\ b \end{pmatrix}$ kan karakteriseres ved **spinnretningen**,

$$\langle \boldsymbol{\sigma} \rangle = \chi^\dagger \boldsymbol{\sigma} \chi = \hat{\mathbf{e}}_x \Re(2a^*b) + \hat{\mathbf{e}}_y \Im(2a^*b) + \hat{\mathbf{e}}_z (|a|^2 - |b|^2).$$

Matrisene $S_x = \frac{1}{2}\hbar\sigma_x$ osv oppfyller dreieimpulsalgebraen,

$$[S_x, S_y] = i\hbar S_z, \quad [S_y, S_z] = i\hbar S_x, \quad [S_z, S_x] = i\hbar S_y.$$

Videre er

$$S_x^2 = S_y^2 = S_z^2 = (\mathbf{S} \cdot \hat{\mathbf{n}})^2 = \frac{\hbar^2}{4} \begin{pmatrix} 1 & 0 \\ 0 & 1 \end{pmatrix} \quad \text{og} \quad \mathbf{S}^2 = \frac{3\hbar^2}{4} \begin{pmatrix} 1 & 0 \\ 0 & 1 \end{pmatrix}.$$

Harmonisk oscillator

Energieigenfunksjonene for potensialet $V = \frac{1}{2}m\omega^2x^2$ ($-\infty < x < \infty$) oppfyller egenverdiligningen

$$\left[-\frac{\hbar^2}{2m} \frac{\partial^2}{\partial x^2} + \frac{1}{2}m\omega^2x^2 - (n + \frac{1}{2})\hbar\omega \right] \psi_n(x) = 0, \quad n = 0, 1, 2, \dots,$$

med normerte løsninger på formen

$$\psi_n(x) = \left(\frac{m\omega}{\pi\hbar} \right)^{1/4} \frac{1}{\sqrt{2^n n!}} e^{-m\omega x^2/2\hbar} H_n(\xi), \quad \xi = \frac{x}{\sqrt{\hbar/m\omega}};$$

$$H_0(\xi) = 1, \quad H_1(\xi) = 2\xi, \quad H_2(\xi) = 4\xi^2 - 2, \quad \dots$$

Utgangspunktet for tidsavhengig perturbasjonsteori

Med en Hamilton-operator $\widehat{H} = \widehat{H}_0 + \widehat{V}(t)$ kan den eksakte løsningen utvikles i de uperturberte stasjonære løsningene:

$$\Psi(\mathbf{r}, t) = \sum_n a_n(t) \Psi_n^{(0)}(\mathbf{r}, t),$$

der

$$\Psi_n^{(0)}(\mathbf{r}, t) = \psi_n(\mathbf{r}) e^{-iE_n t/\hbar}, \quad \widehat{H}_0 \psi_n(\mathbf{r}) = E_n \psi_n(\mathbf{r}).$$

Det eksakte ligningssettet for utviklingskoeffisientene er

$$i\hbar \frac{da_k}{dt} = \sum_n e^{i\omega_{kn}t} V_{kn}(t) a_n(t); \quad \omega_{kn} = (E_k - E_n)/\hbar;$$

$$V_{kn}(t) = \langle \psi_k | \widehat{V}(t) | \psi_n \rangle = \int \psi_k^* \widehat{V}(t) \psi_n d\tau.$$

Med $a_n(t_0) = \delta_{ni}$ oppfyller den eksakte amplituden ligningen

$$a_f(t) = \delta_{fi} + \frac{1}{i\hbar} \sum_n \int_{t_0}^t e^{i\omega_{fn}t'} V_{fn}(t') a_n(t') dt'.$$

Til første orden i perturbasjonen er da amplituden $a_f \equiv a_{i \rightarrow f}$ gitt ved

$$a_{i \rightarrow f} = \delta_{fi} + \frac{1}{i\hbar} \int_{t_0}^t e^{i\omega_{fi}t'} V_{fi}(t') dt'.$$

Sfæriske harmoniske

$$\left\{ \begin{array}{l} \widehat{\mathbf{L}}^2 \\ \widehat{L}_z \end{array} \right\} Y_{lm} = \left\{ \begin{array}{l} \hbar^2 l(l+1) \\ \hbar m \end{array} \right\} Y_{lm}; \quad \int Y_{l'm'}^* Y_{lm} d\Omega = \delta_{l'l} \delta_{m'm}; \quad \widehat{L}_z = \frac{\hbar}{i} \frac{\partial}{\partial \phi};$$

$$Y_{00} = \sqrt{\frac{1}{4\pi}}, \quad Y_{10} = \sqrt{\frac{3}{4\pi}} \cos \theta, \quad Y_{1,\pm 1} = \mp \sqrt{\frac{3}{8\pi}} \sin \theta e^{\pm i\phi}.$$

$$Y_{20} = \sqrt{\frac{5}{16\pi}} (3 \cos^2 \theta - 1), \quad Y_{2,\pm 1} = \mp \sqrt{\frac{15}{8\pi}} \sin \theta \cos \theta e^{\pm i\phi}, \quad Y_{2,\pm 2} = \sqrt{\frac{15}{32\pi}} \sin^2 \theta e^{\pm 2i\phi}.$$

Noen fysiske konstanter

$$a_0 \equiv \frac{4\pi\epsilon_0 \hbar^2}{m_e e^2} = \frac{1}{\alpha} \frac{\hbar}{m_e c} = 0.529 \times 10^{-10} \text{m}; \quad \alpha \equiv \frac{e^2}{4\pi\epsilon_0 \hbar c} = \frac{1}{137.036};$$

$$c = 2.998 \times 10^8 \text{m/s}; \quad \hbar = 0.6582 \times 10^{-15} \text{eVs}; \quad m_e = 0.5110 \text{MeV}/c^2.$$

$$\frac{\hbar^2}{2m_e a_0^2} \approx 13.6 \text{eV}.$$

Tidsutvikling av forventningsverdier

$$\frac{d}{dt} \langle F \rangle = \frac{i}{\hbar} \langle [\widehat{H}, \widehat{F}] \rangle + \left\langle \frac{\partial}{\partial t} \widehat{F} \right\rangle.$$

NORGES TEKNISK-NATURVITENSKAPELIGE UNIVERSITET
 Institutt for fysikk

Faglig kontakt under eksamen: Ingjald Øverbø, tlf 73 59 18 67, eller 97012355

EKSAMEN I
FY2045/TFY4250 KVANTEMMEKANIKK I

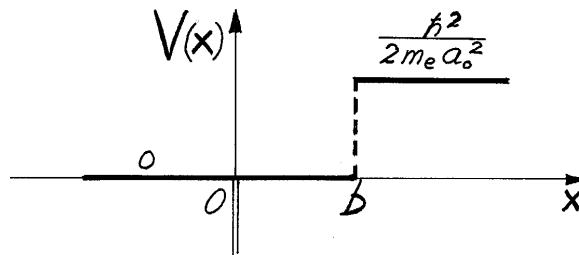
Torsdag 20. desember 2012

kl. 15.00 - 19.00

Tillatte hjelpemidler: Godkjent kalkulator
 Rottmann: Matematisk formelsamling
 Øgrim & Lian: Størrelser og enheter i fysikk og teknikk, eller
 Lian og Angell: Fysiske størrelser og enheter

The questions are given in English on pages 1–5. The Norwegian version is also attached.
 A sheet with expressions and formulae is attached Sensuren faller i januar 2013.

Problem 1



An electron (of mass m_e) is moving in a one-dimensional potential consisting of a delta-function well and a potential step:

$$V(x) = \begin{cases} -\frac{g\hbar^2}{m_e a_0} \delta(x) & \text{for } -\infty < x < b, \quad (b > 0, g > 0) \\ \frac{\hbar^2}{2m_e a_0^2} \equiv V_0 & \text{for } b < x < \infty. \end{cases}$$

Suppose that $\psi_E(x)$ is an energy eigenfunction with energy E for this system. ♠ Use the time-independent Schrödinger equation to find out how ψ_E must behave for negative x for (i) $E > 0$, (ii) $E = 0$. ♠ (iii) Find the form of ψ_E for negative x also for $E < 0$ and, based on the discussion of these three cases, explain why a *bound* state must have $E < 0$. [Hint: A bound state must be quadratically integrable.] ♠ Find also the form of a possible bound state ψ_E for $x > b$.

b. The condition for this system to *have* a bound state $\psi(x)$ is that the factor g (which determines the “strength” of the delta well) is larger than a certain limiting value g_0 . Assume now that the condition $g > g_0$ is satisfied, and that we choose $\psi(x)$ to be real and “normalized” in such a way that $\psi = 1$ at the origin.

The behaviour of $\psi(x)$ for $x < 0$ and for $x > b$ was found above. ♠State how ψ curves, both in these regions and elsewhere.

For $0 < x < b$ the general solution of the time-independent Schrödinger equation can be written on the form

$$\psi = Ae^{\kappa x} + Be^{-\kappa x},$$

where A and B are real constants. From an “isolated point of view, this expression can have a zero in the interval $0 < x < b$. ♠Explain why the eigenfunction ψ still can not have a zero. [Hint: Try to sketch a solution with a zero for $0 < x < b$, and explain what goes wrong with this “solution”.]

♠Then make a sketch which shows how the eigenfunction ψ of the bound state (without zeros) *must* look, and explain why this eigenfunction is unique, so that we have only one such bound state (for a given $g > g_0$). [Hint: How many unknown quantities do we have in this problem?]

c. In the limiting case $g = g_0$, this system has an (unbound) energy eigenstate with the energy $E = 0$. ♠Explain which forms this eigenfunction has in the three regions $x < 0$, $0 < x < b$ og $x > b$, and make a sketch of it. ♠Use the necessary conditions to determine g_0 . ♠Is the result reasonable in the limit $b \rightarrow \infty$?

Problem 2

A spin- $\frac{1}{2}$ particle of mass m , charge q and magnetic moment $\boldsymbol{\mu} = g(q/2m)\mathbf{S}$ is (from the outset) in a constant and homogeneous magnetic field $\mathbf{B}_0 = B_0\hat{\mathbf{z}}$ pointing in the z -direction. When other degrees of freedom are neglected, the Hamiltonian of this (unperturbed) system can be written as

$$\widehat{H}_0 = -\boldsymbol{\mu} \cdot \mathbf{B}_0 \equiv \boldsymbol{\omega}_0 \cdot \mathbf{S} = \omega_0 S_z, \quad \text{where} \quad \boldsymbol{\omega}_0 = -qB_0 \frac{g}{2m} \hat{\mathbf{z}} \equiv \omega_0 \hat{\mathbf{z}}.$$

Here we assume that ω_0 is positive, so that the vector $\boldsymbol{\omega}_0$ points in the positive z -direction. We choose to perturb this system with a time-dependent magnetic field

$$\mathbf{B}_1 = \epsilon B_0 (\hat{\mathbf{x}} \cos \omega_0 t + \hat{\mathbf{y}} \sin \omega_0 t)$$

which lies in the xy -plane and rotates with the same angular frequency ω_0 that occurs in \widehat{H}_0 . This magnetic field corresponds to a perturbing term

$$\widehat{V}(t) = -\boldsymbol{\mu} \cdot \mathbf{B}_1 = \epsilon \omega_0 (\hat{\mathbf{x}} \cos \omega_0 t + \hat{\mathbf{y}} \sin \omega_0 t) \cdot \mathbf{S} \equiv \boldsymbol{\omega}_1 \cdot \mathbf{S} \quad (\omega_1 = \epsilon \omega_0),$$

and a total Hamiltonian

$$\widehat{H} = \widehat{H}_0 + \widehat{V}(t) = (\boldsymbol{\omega}_0 + \boldsymbol{\omega}_1) \cdot \mathbf{S} = \frac{1}{2} \hbar \omega_0 \begin{pmatrix} 1 & 0 \\ 0 & -1 \end{pmatrix} + \frac{1}{2} \hbar \omega_1 \begin{pmatrix} 0 & e^{-i\omega_0 t} \\ e^{i\omega_0 t} & 0 \end{pmatrix}.$$

a. ♠ Find the energy eigenvalues (E_{\pm}) of the unperturbed system (that is, for $\epsilon = 0$) expressed in terms of ω_0 , and show that the corresponding stationary states can be written on the form

$$\chi_{\pm}^{(0)}(t) = \chi_{\pm} e^{\mp i\omega_0 t/2}, \quad \text{where } \chi_+ = \begin{pmatrix} 1 \\ 0 \end{pmatrix} \quad \text{and} \quad \chi_- = \begin{pmatrix} 0 \\ 1 \end{pmatrix}.$$

Since the states $\chi_{\pm}^{(0)}(t)$ form a basis, the state of the spin system may in general be expanded in terms of these states:

$$\chi(t) = a_+(t)\chi_+^{(0)}(t) + a_-(t)\chi_-^{(0)}(t).$$

♠ What is the physical interpretation of the coefficients $a_+(t)$ and $a_-(t)$?

Inserting into the Schrödinger equation $i\hbar \frac{d}{dt} \chi(t) = \widehat{H} \chi(t)$ one finds that the expansion coefficients satisfy the coupled set of equations

$$i\hbar \frac{d}{dt} \begin{pmatrix} a_+(t) \\ a_-(t) \end{pmatrix} = \frac{1}{2}\hbar\omega_1 \begin{pmatrix} 0 & 1 \\ 1 & 0 \end{pmatrix} \begin{pmatrix} a_+(t) \\ a_-(t) \end{pmatrix} \quad (\omega_1 = \epsilon\omega_0).$$

♠ What does this set of equations tell us about the time dependence of the coefficients $a_+(t)$ and $a_-(t)$ in the case when the perturbing magnetic field is equal to zero (that is, when $\epsilon = 0$)?

b. Assume that $\epsilon > 0$, so that the perturbing field is different from zero. ♠ Use the set of equations above to show that

$$a_+(t) = -i \sin \frac{1}{2}\omega_1 t \quad \text{and} \quad a_-(t) = \cos \frac{1}{2}\omega_1 t,$$

given that the spin was in the ground state at $t = 0$; $\chi(0) = \chi_- = \begin{pmatrix} 0 \\ 1 \end{pmatrix}$.

c. ♠ Write the resulting spin state $\chi(t) = a_+(t)\chi_+^{(0)}(t) + a_-(t)\chi_-^{(0)}(t)$ on the form

$$\chi(t) = \begin{pmatrix} a(t) \\ b(t) \end{pmatrix},$$

and find the components $\langle \sigma_x \rangle$, $\langle \sigma_y \rangle$ and $\langle \sigma_z \rangle$ of the spin direction $\langle \boldsymbol{\sigma} \rangle$ as functions of t , using the formula sheet.

From these results it follows that the component of $\langle \boldsymbol{\sigma} \rangle$ perpendicular to the z -axis can be written on the form

$$\langle \boldsymbol{\sigma}_{\perp} \rangle = \sin \omega_1 t [\hat{\mathbf{x}} \cos(\omega_0 t + \pi/2) + \hat{\mathbf{y}} \sin(\omega_0 t + \pi/2)].$$

As you will observe, this component rotates with the same angular frequency as the perturbing \mathbf{B} -field, but 90 degrees ahead of the latter the whole time when t increases from 0 to π/ω_1 . Together with the formula $d\langle \boldsymbol{\sigma} \rangle/dt = (\boldsymbol{\omega}_0 + \boldsymbol{\omega}_1) \times \langle \boldsymbol{\sigma} \rangle$ (which can be derived from the angular-momentum algebra), this explains why $\langle \sigma_z \rangle$ increases the whole time while $\sin \omega_1 t > 0$, that is, until $\langle \sigma_z \rangle$ becomes equal to 1. Suppose now that $\epsilon \ll 1$, so that $\omega_1 \ll \omega_0$. ♠ Describe qualitatively what will then happen with $\langle \sigma_z \rangle$ if we let the perturbing field rotate with an angular frequency ω which lies far away from the resonance frequency ω_0 ?

d. ♠ Assume once again that the perturbing field \mathbf{B}_1 rotates with the angular frequency ω_0 , and calculate the transition amplitude $a_+(t)$ at time t using first-order time-dependent perturbation theory. ♠ Compare the first-order result for $a_+(t)$ with the exact result given above (in point **b**), and find in this way what is required in order that first-order perturbation theory give a good approximation in this case.

Problem 3

A particle of mass m is moving in the three-dimensional oscillator potential $V(r) = \frac{1}{2}m\omega^2 r^2$. As energy eigenstates of this system we can use either (i) product states of “Cartesian” type,

$$\psi_{n_x n_y n_z} = \psi_{n_x}(x)\psi_{n_y}(y)\psi_{n_z}(z) \equiv (n_x n_y n_z), \quad E_{n_x n_y n_z} = \hbar\omega(n_x + n_y + n_z + 3/2),$$

where $\psi_{n_x}(x)$ etc are ordinary one-dimensional oscillator solutions (see the formula sheet), or (ii) “angular-momentum states” of the type $\psi_{Nlm} = R_{Nl}(r)Y_{lm}(\theta, \phi)$ (where each such state is a linear combination of “Cartesian” states with $n_x + n_y + n_z = N$).

a. Assume that the oscillator is at $t = 0$ prepared in the following linear combination of “Cartesian” states,

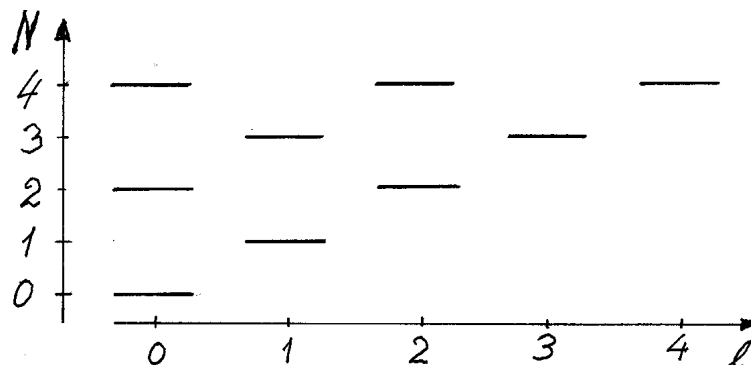
$$\Psi(\mathbf{r}, 0) = \frac{1}{\sqrt{6}}[(200) + (020) + (002)] + \frac{1}{\sqrt{2}}(000).$$

♠ Show that this state is normalized.

Suppose that we immediately after the preparation (that is, at $t = 0^+$) measure the energy E . ♠ What is the probability that the measurement gives (i) the result $E = \frac{3}{2}\hbar\omega$ and leaves the system in the ground state $\psi_{000} \equiv (000)$, (ii) the result $E = \frac{7}{2}\hbar\omega$? ♠ What is (the normalized) state immediately after a measurement with the result $E = \frac{7}{2}\hbar\omega$?

♠ Use the formula sheet to show that the state $[(200) + (020) + (002)]/\sqrt{3}$ is independent of angles, that is depends only on r , and therefore is a state of the type ψ_{Nlm} . What are the values of N , l and m for this state.

b. Assume now that the oscillator is in the state $\psi_{N=2, l=m=0} = R_{N=2, l=0}Y_{00}$ at $t = 0$. We want to study radiative transitions from this state via absorption and stimulated and spontaneous emission. If we use “angular-momentum states” ψ_{Nlm} as a basis, the level scheme for this oscillator looks like this (for $N \leq 4$):



In the dipole approximation, the transition rates for absorption and stimulated emission are proportional to $|\mathbf{e}_k \cdot \mathbf{d}_{fi}|^2$, where \mathbf{e}_k is the polarization vector of the radiation and the vector

$$\mathbf{d}_{fi} = \int \psi_f^* \mathbf{r} \psi_i d^3r$$

is the dipole moment of the transition. The spontaneous transition rate is proportional to $|\mathbf{d}_{fi}|^2$.

♠ Show directly (from the integral above) that transitions from $\psi_{N=2, l=m=0}$ in the dipole approximation only occur to p -states ($\psi_{N'l'm'}$ with $l' = 1$), in accordance with the selection rule $\Delta l = \pm 1$. Hint: Use that

$$\mathbf{r} = r \sqrt{4\pi/3} \left[\hat{\mathbf{e}}_z Y_{10} - \frac{\hat{\mathbf{e}}_x - i\hat{\mathbf{e}}_y}{\sqrt{2}} Y_{11} + \frac{\hat{\mathbf{e}}_x + i\hat{\mathbf{e}}_y}{\sqrt{2}} Y_{1-1} \right],$$

and consider the angular part of the above integral.

♠ Show that in the dipole approximation the allowed transitions for this system are in general limited to $\Delta N = \pm 1$. Hint: In the dipole moment

$$\langle \psi_f | \mathbf{r} | \psi_i \rangle,$$

the ket $|\psi_i\rangle$ is a superposition of “Cartesian” states which all have $n_x + n_y + n_z = N$. Consider

$$\hat{\mathbf{r}} |\psi_i\rangle = (\hat{\mathbf{e}}_x \hat{x} + \hat{\mathbf{e}}_y \hat{y} + \hat{\mathbf{e}}_z \hat{z}) |\psi_i\rangle,$$

and investigate how the operators

$$\hat{x} = \sqrt{\frac{\hbar}{2m\omega}} (a_x + a_x^\dagger) \quad \text{etc}$$

act on $|\psi_i\rangle$. Remember that $a_x |n_x\rangle = \sqrt{n_x} |n_x - 1\rangle$ and $a_x^\dagger |n_x\rangle = \sqrt{n_x + 1} |n_x + 1\rangle$.

c. From the above results it follows that *spontaneous* transitions from the state $\psi_{N=2, l=m=0}$ in the dipole approximation occur only for final states with $N = 1$. For the latter we may just as well use the “Cartesian” ones. The rate (probability per unit time) for spontaneous transition from the state $\psi_{N=2, l=m=0}$ to the “Cartesian” state $\psi_{100} \equiv (100)$ is in the dipole approximation given by the formula

$$w_{i \rightarrow f} = \alpha \frac{4\omega_{if}^3}{3c^2} |\mathbf{d}_{fi}|^2.$$

♠ What is the Bohr frequency ω_{if} for this transition? ♠ Using the symmetry properties of the states in question, explain why the dipole moment vector \mathbf{d}_{fi} of this transition can not have components in the y - and z -directions. ♠ Explain also why the *length* of \mathbf{d}_{fi} must be of the order of $\sqrt{\hbar/m\omega}$. ♠ Explain in addition why the length $|\mathbf{d}_{fi}|$ of the dipole moment vector has the same value for all of the three final states (100), (010) og (001).

d. Actually, we have $|\mathbf{d}_{fi}| = \sqrt{\hbar/(3m\omega)}$ for each of the three transitions. ♠ Assume that $m = m_e$ and $\omega = 10^{16} \text{ s}^{-1}$, and find (in the dipole approximation) numerical values for the total rate for spontaneous transition from the state $\psi_{N=2, l=m=0}$ and the corresponding lifetime τ . ♠ Decide if the dipole approximation is a good approximation in this case.

Attachment: Formulae and expressions

Some of this may turn out to be useful.

Discontinuity condition, with potential $V(x) = \alpha\delta(x - a)$

$$\psi'(a^+) - \psi'(a^-) = \frac{2m\alpha}{\hbar^2} \psi(a).$$

Spin $\frac{1}{2}$

For a particle with spin $\frac{1}{2}$ one may use the spin operator

$$\mathbf{S} = \frac{1}{2}\hbar\boldsymbol{\sigma} = \frac{1}{2}\hbar(\hat{\mathbf{e}}_x\sigma_x + \hat{\mathbf{e}}_y\sigma_y + \hat{\mathbf{e}}_z\sigma_z),$$

where

$$\sigma_x = \begin{pmatrix} 0 & 1 \\ 1 & 0 \end{pmatrix}, \quad \sigma_y = \begin{pmatrix} 0 & -i \\ i & 0 \end{pmatrix}, \quad \sigma_z = \begin{pmatrix} 1 & 0 \\ 0 & -1 \end{pmatrix}$$

are the so-called Pauli matrices. The Pauli *spinors* $\chi_+ = \begin{pmatrix} 1 \\ 0 \end{pmatrix}$ and $\chi_- = \begin{pmatrix} 0 \\ 1 \end{pmatrix}$ then are eigenstates of $S_z = \frac{1}{2}\hbar\sigma_z$ with the eigenvalues $\pm\frac{1}{2}\hbar$. A normalized spin state $\chi = \begin{pmatrix} a \\ b \end{pmatrix}$ may be characterized by the **spin direction**,

$$\langle \boldsymbol{\sigma} \rangle = \chi^\dagger \boldsymbol{\sigma} \chi = \hat{\mathbf{e}}_x \Re(2a^*b) + \hat{\mathbf{e}}_y \Im(2a^*b) + \hat{\mathbf{e}}_z (|a|^2 - |b|^2).$$

The matrices $S_x = \frac{1}{2}\hbar\sigma_x$ etc satisfy the angular momentum algebra,

$$[S_x, S_y] = i\hbar S_z, \quad [S_y, S_z] = i\hbar S_x, \quad [S_z, S_x] = i\hbar S_y.$$

Furthermore,

$$S_x^2 = S_y^2 = S_z^2 = \frac{\hbar^2}{4} \begin{pmatrix} 1 & 0 \\ 0 & 1 \end{pmatrix} \quad \text{og} \quad \mathbf{S}^2 = \frac{3\hbar^2}{4} \begin{pmatrix} 1 & 0 \\ 0 & 1 \end{pmatrix}.$$

Harmonic oscillator

The energy eigenfunctions for the potential $V = \frac{1}{2}m\omega^2x^2$ ($-\infty < x < \infty$) satisfy the eigenvalue equation

$$\left[-\frac{\hbar^2}{2m} \frac{\partial^2}{\partial x^2} + \frac{1}{2}m\omega^2x^2 - (n + \frac{1}{2})\hbar\omega \right] \psi_n(x) = 0, \quad n = 0, 1, 2, \dots,$$

with normalized solutions on the form

$$\psi_n(x) = \left(\frac{m\omega}{\pi\hbar} \right)^{1/4} \frac{1}{\sqrt{2^n n!}} e^{-m\omega x^2/2\hbar} H_n(\xi), \quad \xi = \frac{x}{\sqrt{\hbar/m\omega}};$$

$$H_0(\xi) = 1, \quad H_1(\xi) = 2\xi, \quad H_2(\xi) = 4\xi^2 - 2, \quad \dots$$

Starting point for time-dependent perturbation theory

With a Hamiltonian $\widehat{H} = \widehat{H}_0 + \widehat{V}(t)$, the exact solution can be expanded in terms of the unperturbed stationary solutions:

$$\Psi(\mathbf{r}, t) = \sum_n a_n(t) \Psi_n^{(0)}(\mathbf{r}, t),$$

where

$$\Psi_n^{(0)}(\mathbf{r}, t) = \psi_n(\mathbf{r}) e^{-iE_n t/\hbar}, \quad \widehat{H}_0 \psi_n(\mathbf{r}) = E_n \psi_n(\mathbf{r}).$$

The exact set of equations for the expansion coefficients is

$$i\hbar \frac{da_k}{dt} = \sum_n e^{i\omega_{kn}t} V_{kn}(t) a_n(t); \quad V_{kn}(t) = \langle \psi_k | \widehat{V}(t) | \psi_n \rangle, \quad \omega_{kn} = (E_k - E_n)/\hbar.$$

With $a_n(t_0) = \delta_{ni}$, the exact amplitude satisfies the equation

$$a_f(t) = \delta_{fi} + \frac{1}{i\hbar} \sum_n \int_{t_0}^t e^{i\omega_{fn}t'} V_{fn}(t') a_n(t') dt'.$$

To first order in the perturbation the amplitude $a_f \equiv a_{i \rightarrow f}$ is then given by

$$a_{i \rightarrow f} = \delta_{fi} + \frac{1}{i\hbar} \int_{t_0}^t e^{i\omega_{fi}t'} V_{fi}(t') dt'.$$

Spherical harmonics

$$\left\{ \begin{array}{l} \widehat{\mathbf{L}}^2 \\ \widehat{L}_z \end{array} \right\} Y_{lm} = \left\{ \begin{array}{l} \hbar^2 l(l+1) \\ \hbar m \end{array} \right\} Y_{lm}; \quad \int Y_{l'm'}^* Y_{lm} d\Omega = \delta_{l'l} \delta_{m'm}; \quad \widehat{L}_z = \frac{\hbar}{i} \frac{\partial}{\partial \phi};$$

$$Y_{00} = \sqrt{\frac{1}{4\pi}}, \quad Y_{10} = \sqrt{\frac{3}{4\pi}} \cos \theta, \quad Y_{1,\pm 1} = \mp \sqrt{\frac{3}{8\pi}} \sin \theta e^{\pm i\phi}.$$

$$Y_{20} = \sqrt{\frac{5}{16\pi}} (3 \cos^2 \theta - 1), \quad Y_{2,\pm 1} = \mp \sqrt{\frac{15}{8\pi}} \sin \theta \cos \theta e^{\pm i\phi}, \quad Y_{2,\pm 2} = \sqrt{\frac{15}{32\pi}} \sin^2 \theta e^{\pm 2i\phi}.$$

Some physical constants

$$a_0 \equiv \frac{4\pi\epsilon_0 \hbar^2}{m_e e^2} = \frac{1}{\alpha} \frac{\hbar}{m_e c} = 0.529 \times 10^{-10} \text{m}; \quad \alpha \equiv \frac{e^2}{4\pi\epsilon_0 \hbar c} = \frac{1}{137.036};$$

$$c = 2.998 \times 10^8 \text{m/s}; \quad \hbar = 0.6582 \times 10^{-15} \text{eVs}; \quad m_e = 0.5110 \text{MeV}/c^2.$$

$$\frac{\hbar^2}{2m_e a_0^2} \approx 13.6 \text{eV}.$$